

## بررسی سیتوتوکسیسیته ICD-85 (ترکیب پپتیدی مشتق از سم مار و عقرب) روی سلول سرطانی میلوئیدی HL-60

زهرا شهرامیار<sup>۱</sup>، عباس ذارع میرک آبادی<sup>۲</sup>، حسن مروتی<sup>۳</sup>

<sup>۱</sup> کارشناس ارشد بیوشیمی، موسسه تحقیقات واکسن و سرم سازی رازی

<sup>۲</sup> دانشیار، بخش جانوران سمی و تهیه پاذهر، موسسه تحقیقات واکسن و سرم سازی رازی

<sup>۳</sup> کارشناس ارشد، بخش کنترل کیفی فرآورده های بیولوژیک، موسسه تحقیقات واکسن و سرم سازی رازی

---

### چکیده

**سابقه و هدف:** مطالعات قبلی روی ICD-85 (پپتید مشتق از زهر مار و عقرب) که توسط محققین موسسه سرم سازی رازی استخراج شده است، اثر مهاری این ترکیب را در گروه سلول های سرطانی پستان (MDA-MB 231) نشان داد. این تحقیق به منظور روشن شدن مکانیسم اثر ICD-85 روی سلول های سرطانی HL-60 صورت گرفته است.

**روش بررسی:** ابتدا سیتوتوکسیسیته ICD-85 روی سلول HL-60 MTT توسط تست MTT تعیین شد و تغییرات مرفولوژیکی حاصل از ICD-85 در سلول هایی که به مدت ۲۴ ساعت در معرض این ترکیب قرار گرفتهند، زیر میکروسکوپ الکترونی مشاهده شد. سپس میزان LDH آزاد شده در محیط سلول هایی که تحت تاثیر ICD-85 قرار گرفته بودند، اندازه گیری شد.

**یافته ها:** مقدار  $IC_{50}$  پس از افروختن غلظت های مشخص از ICD-85 ( $IC_{40}$ )  $4 \times 10^{-15}$  میکروگرم در میلی لیتر، به مدت ۲۴ ساعت به سلول HL-60 برابر با  $4 \times 10^{-15}$  میکروگرم در میلی لیتر محاسبه شد. همچنین این سلول ها در مقایسه با سلول های کنترل که در معرض ICD-85 قرار نگرفته بودند، زیر میکروسکوپ الکترونی تغییرات قابل توجهی از جمله کوچک شدن نسبت هسته به سیتوپلاسم، جمع شدن سیتوپلاسم، متراکم شدن محتويات هسته ای، افزایش واکوئول های سیتوپلاسمی، تشکیل اجسام آپوپتویک و تخریب میتوکندری مشاهده شد. در اندازه گیری میزان LDH هیچ تغییر معنی داری در میزان LDH آزاد شده در غلظت های مختلف سم در مقایسه با سلول کنترل مشاهده نشد.

**نتیجه گیری:** تحقیق حاضر اثر ضد رشد ترکیب ICD-85 روی سلول HL-60 را نشان داد.

**وازگان کلیدی:**  $IC_{50}$ ، ICD-85، HL-60، MTT، سیتوتوکسیسیته، سرطان

---

### مقدمه

تعداد مبتلایان به این بیماری در سطح جهانی، به ویژه در کشور ما می باشد. آپوپتوز مجموعه ای از رویدادهای مرگ سلولی است که منجر به ایجاد تغییرات خاص در الگوی مرفولوژیکی، بیوشیمیایی و مولکولی می شود (۱). عدم وجود آپوپتوز، منجر به تظاهرات مختلفی از قبیل سرطان، بیماری های خودایمنی و عفونت های ویروسی می گردد. سرطان هایی مانند لوسمی، لنفوم و لوسمی ناشی از ویروس HTLV1 از موارد شناخته شده نقص در آپوپتوز می باشند (۲)، آپوپتوز همان مرگ برنامه ریزی شده است که سلول بدون

نگرانی که باعث شده است امروزه سرطان به عنوان یک معضل در سطح جهان مطرح شود و مبارزه با آن جزو اولویت های بهداشتی - درمانی قرار گیرد، رشد رو به افزایش

---

آدرس نویسنده مسئول: کرج، موسسه تحقیقات واکسن و سرم سازی رازی، بخش کنترل کیفی، زهرا شهرامیار

(email: zshahramyar@gmail.com)

تاریخ دریافت مقاله: ۱۳۸۹/۱۱/۹

تاریخ پذیرش مقاله: ۱۳۹۰/۷/۲۴

**کشت سلول**  
سلول HL-60 کروی و دارای یک هسته درشت، مشخص و به صورت سوسپانسیون بود. زمان دو برابر شدن سلول ۲۴ ساعت بود و پس از رسیدن تعداد سلول‌ها به حد مناسب و رسیدن آنها به فاز لگاریتمی رشد، مورد استفاده قرار گرفت.

سلول در محیط 1640 RPMI با مکمل ۱۰٪ سرم آلبومین گاوی (FBS) و ۱۰۰ واحد در میلی لیتر پنی‌سیلین، ۱۰۰ میکروگرم در میلی لیتر، استرپتومایسین و ۲ میکرومول L-گلوتامین در دمای ۳۷ درجه سانتی‌گراد، ۵ درصد CO<sub>2</sub> و ۹۵ درصد هوا نگهداری شد (۱۱).

### اندازه‌گیری زنده بودن و تکثیر سلول با روش MTT و تعیین IC<sub>50</sub> (MTT Assay)

ابتدا ۱۰۰ میلی‌لیتر از سوسپانسیون سلولی با غلظت ۲۵۰۰۰ سلول در میلی لیتر (cell/ml) در چاهک‌های میکروپلیت ۹۶ تایی ریخته شد و با ۱۰۰ میلی‌لیتر از غلظت‌های مختلف ترکیب ICD-85 (۴۰، ۴، ۰/۰۴، ۰/۰۴) تا  $10^{-15}$  × ۴ میکروگرم در میلی‌لیتر به مدت ۲۴ ساعت انکوبه گردید. پس از انکوباسیون ۱۰ میکرولیتر از محلول ۱ میلی‌گرم در میلی‌لیتر از MTT به هر چاهک اضافه و در تاریکی انکوبه گردید.

پودر MTT همان ترکیب 3-(4,5-dimethyl thiazol-2-yl) diphenyl tetrazolium bromide) است. در جریان آزمایش، آنزیم سوکسینات دهیدروژناز میتوکندریایی در سلول‌های زنده، نمک تترارولیوم را می‌شکافد و به کریستال فورمازان بنفس غیر قابل حل تبدیل می‌کند. مقدار فورمازان تولیدی با تعداد سلول‌های زنده حاضر متناسب است (۱۲). این کریستال‌ها در DMSO یا ایزوپروپانول با 0.1N HCL حل می‌شود (اگر احیاناً سلول‌ها لیز نشدن، ۱۰ درصد تریتون-X ۱۰۰ به ایزوپروپانول اضافه می‌کنیم). سپس مقدار رنگ یا

کمی در می‌آید. آزمایش MTT به هر دو مورد تعداد سلول‌های موجود و فعالیت میتوکندریایی هر سلول بستگی دارد (۱۱). در انتهای IC<sub>50</sub> یا غلظتی از دارو که جذبی برابر نصف کنترل تولید می‌کند یا به بیانی دیگر غلظتی از دارو که ۵۰ درصد مهار در رشد سلول ایجاد می‌کند طبق فرمول زیر محاسبه شد.

کنترل OD / نمونه تصحیح شده OD ) - ۱۰۰ = درصد مهاری  $\times 100$  تصحیح شده

از دست دادن غشا و اجزای خود از بین می‌رود ولی شرایط فیزیولوژیکی نرمال است. آپوپتوز توسط اندونوکلئازها انجام می‌گیرد (۳، ۴). یکی از خصوصیات مهم داروهای ضد سرطان اثر سیتوتوکسیک آن روی سلول‌های سرطانی است. تحقیقات مختلف دانشمندان حاکی از آن است که بعضی از عوامل سیتوتوکسیک در زهر جانور ان سمی مانند مار و عقرب وجود دارد (۵، ۶). Kikuchi و همکارانش در سال ۱۹۸۲-۱۹۸۳ ثابت کردند ترکیب استخراج شده از Clavularia viridis با نام کلاولون می‌تواند رشد سلول‌های سرطانی خون (HL-60) که در فاز G1 قرار دارند را متوقف و رشد سلول‌هایی که در فاز S قرار دارند را کاهش دهد و اینها توسط سنجش سیتوتوکسیسیته و آزمایش MTT و DNA ژل الکتروفورز و روش TUNEL به اثبات رسیده است. روش TUNEL به وسیله سم عروس دریایی (cctx) (Chiropsalmus Quadrigatus toxins) توانستند در سلول‌های عصبی و قلبی-عروقی آپوپتوز را القا کنند (۷).

در سال ۱۹۶۷ ثابت شد زهر مار کبری روی سلول‌های سرطانی اثر سیتوتوکسیک دارد (۸). همچنین در سال ۱۹۹۶ Crotalus و Bothrops jararaca مشخص شد زهر مار durissus terrificus به طور مستقیم روی سلول‌های توموری تاثیر می‌گذارد (۸).

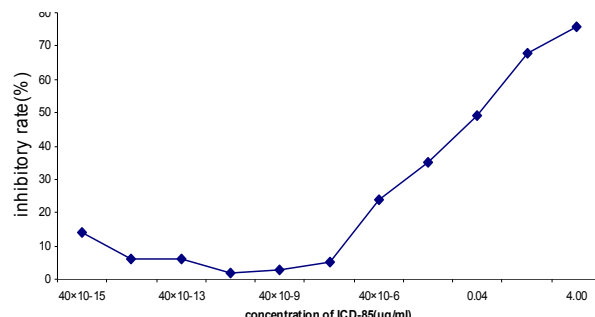
اشر سیتوتوکسیک و فعالیت کمی و کیفی و بیولوژیکی و دارویی ترکیب پیتیدی ICD-85 در سال ۱۳۸۷ روی سلول سرطان پستان MDA-MB-231 مورد مطالعه قرار گرفت (۹). همچنین در مطالعاتی که در شرایط in vivo صورت گرفت نیز اثر سرکوب تومور پستان در موش‌های آزمایشگاهی توسط ICD-85 تأثیر شد (۱۰). اما با وجود این تحقیقات همچنان مکانیسم حقیقی ICD-85 تاکنون ناشناخته مانده است، لذا تحقیق حاضر جهت تشخیص مکانیسم اثر ترکیب بر روی سلول سرطان خون HL-60 است.

## مواد و روشها

### ترکیب ICD-85

بخش فعال ICD-85 ترکیبی از سه پیتید با وزن مولکولی ۱۰۰۰۰ تا ۳۰۰۰۰ دالتون است که از سم مار قهوه‌ای ایرانی Hemiscorpius Halys (Agkistrodon lepturus) و عقرب زرد (Agkistrodon Halys) در موسسه تحقیقات واکسن و سرم سازی رازی توسط نویسنده (عباس زارع میرک آبادی) در سال ۱۳۸۵ استخراج و تهیه گردید.

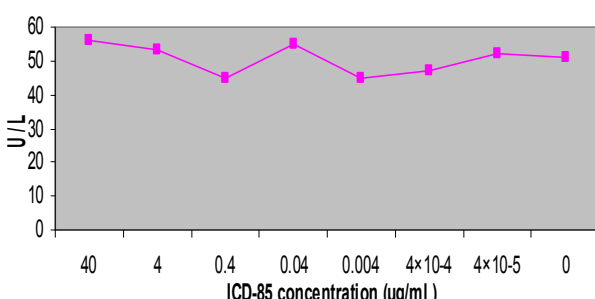
غلظت  $4 \times 10^{-6}$  میکروگرم در میلی لیتر درصد مهاری رشد ۱۰۰ درصد مشاهده شد.



نمودار ۱- درصد مهاری غلظت‌های مختلف ICD-85 روی سلول HL-60

اثر ICD-85 در فعالیت آنزیم لاكتات دهیدروژناز (LDH) اندازه‌گیری آنزیم لاكتات دهیدروژناز در سلول‌های تحت غلظت‌های مختلف سم آشکار کرد که در سطح آنزیم آزاد شده هیچ تغییر معنی‌داری نسبت به سلول کنترل ایجاد نشده است.

همان‌طور که در نمودار ۲ مشاهده می‌کنیم میانگین فعالیت آنزیم LDH در همه سلول‌هایی که در معرض ICD-85 قرار گرفتند مانند نمونه کنترل  $52 \pm 3/50$  U/L آزاد شد و هیچ تغییر معنی‌داری در آنها مشاهده نشد. سطح LDH تغییر نیافته می‌تواند به عنوان اندیکاتوری باشد که مرگ سلولی در رده سلولی HL-60 مربوط به شوک نکروتیک نیست.



نمودار ۲- میزان LDH آزاد شده از سلول‌های در معرض غلظت‌های مختلف ICD-85

### اثر ICD-85 روی مرفلوژی سلول

برای تعیین اثرات مرفلوژیکی ICD-85، گروهی از سلول‌هایی که ۲۴ ساعت در معرض سم قرار گرفتند، زیر میکروسکوپ الکترونی مشاهده و با گروه کنترل مقایسه گردید. همان‌طور که در شکل ۱ مشاهده می‌شود، در سلول‌هایی که در معرض سم قرار گرفته‌اند، کاهش نسبت هسته به سیتوپلاسم، افزایش واکوئولهای سیتوپلاسمی، تراکم مواد هسته‌ای، رقت شبکه

### اندازه گیری لاكتات دهیدروژناز آزاد شده

سنجهش کمی سیتو توکسیسیته بر اساس آزادسازی LDH استوار است که پس از ۲۴ ساعت انکوباسیون سلول‌ها با غلظت‌های مختلف ICD-85 ( $0.004-40 \times 10^{-15}$  M) تا  $4 \times 10^{-6}$  میکروگرم در میلی لیتر محاسبه شد.

لاكتات دهیدروژناز آنزیم سیتوزولی حل شدنی است که در اغلب سلول‌های یوکاریوت حضور دارد و از غشای پلاسمایی سلول‌های مرده و آسیب دیده (نکروتیک) آزاد می‌شود. افزایش فعالیت LDH در سوپرناکات مناسب با تعداد سلول‌های لیز شده است. LDH تبدیل پیروات به لاكتات را کاتالیز می‌کند و در جریان آن NAD<sup>+</sup> به NADH اکسید می‌شود. به دلیل آنکه سرعت کاهش NADH مناسب با فعالیت LDH می‌باشد، تشکیل NADH در واکنش جفت شونده در جایی که نمک تترازولیوم INT به محصول فورمازان قرمز تبدیل می‌شود، به روش کینتیک اندازه گیری می‌گردد (۱۳).



بررسی تغییرات سلولی در زیر میکروسکوپ الکترونی نمونه‌های حاوی سوسپانسیون سلولی به مدت ۲۴ ساعت با غلظت‌های مختلف ICD-85 انکوبه شد و به وسیله سانتریفوج پلت و با گلوتارالدئید ۲/۵ درصد و پارافرمالدئید ۲ درصد در بافر فسفات ۰/۱ مولار فیکس گردید. سپس مجدداً با اسیمیوم تتروکسید ۱ درصد فیکس شد و پس از عمل آوری و مقطع گیری برای مشاهده زیر میکروسکوپ الکترونی آماده شد.

### یافته‌ها

#### اثر ICD-85 روی رشد و تکثیر سلول‌های HL-60

اثر ICD-85 روی رشد و تکثیر سلول‌های سرطانی HL-60 به وسیله آزمایش MTT تعیین شد. ICD-85 به طور معنی‌داری رشد سلول‌های سرطانی HL-60 را در غلظت‌های کم مهار کرد و پس از سه بار تکرار این آزمایش، مقدار IC50 پس از ۲۴ ساعت انکوباسیون  $0.04 \pm 0.015$  میکروگرم در میلی لیتر محاسبه شد. مقدار پایین IC50 نشان دهنده توانایی بالای ضد رشد و تکثیر ICD-85 در سلول سرطانی HL-60 می‌باشد.

همان‌طور که در نمودار ۱ مشاهده می‌شود در غلظت  $40 \times 10^{-15}$  M از ترکیب ICD-85 درصد مهاری رشد ۱۴ درصد بود. از این غلظت تا غلظت  $4 \times 10^{-6}$  M به دلایل نامشخص به تدریج درصد مهاری رشد کاهش یافت و به حدود صفر رسید و پس از آن مجدداً درصد مهاری افزایش یافت، به طوری که در

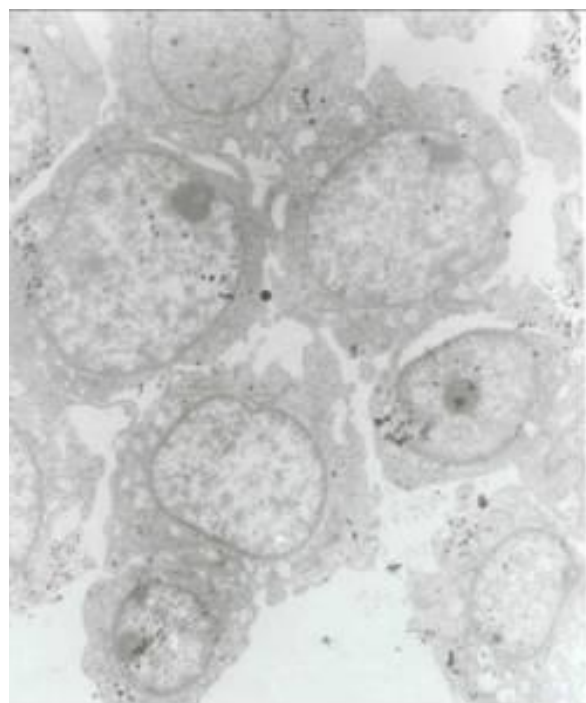
## بحث

گزارشات نشان می‌دهند که زهر مار با وجود اجزا و ترکیبات مختلف خود، پتانسیل قوی در درمان بیماری‌های انسانی دارد (۱۴). تعادل بین اثرات دارویی و سمی یک ترکیب، پارامتر مهمی است که توانایی کاربرد داروهای جدید را مشخص می‌کند. بنابراین داروهای جدید باید با یک طراحی خوب موردنظریابی قرار گیرند تا ویژگی‌های سمی و دارویی آنها به درستی مشخص شود (۱۵).

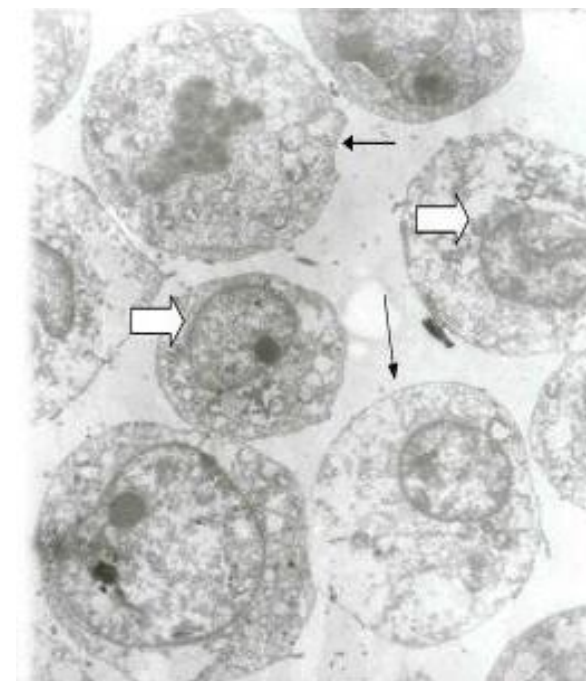
در تحقیق حاضر از روش MTT جهت بررسی سمیت سلولی استفاده شد. تکنیک MTT به وسیله Mosmann به عنوان روشی سریع و حساس بر اساس سنجش کالریمتريک برای بررسی سیتوتوكسیته داروهای ضد سرطان، در محیط In vitro ارائه شد. این روش بسیار سریع، دقیق و مطمئن در بررسی و تعیین درصد سلول‌های زنده در آزمایش‌های مختلف می‌باشد و از طرفی توسط این روش می‌توان به مقاومت دارویی ایجاد شده در افراد سرطانی بعد از شیمی درمانی پی‌برد و از تجویز بی‌مورد داروهای سیتوتوكسیک که اثرات جانبی زیادی دارند، جلوگیری کرد (۱۶، ۱۷). به وسیله اندازه‌گیری سیتوتوكسیته assay (Cytotoxicity assay) می‌توان سلول‌ها و اجسام آپوپوتیکی که در غشای پلاسمایی سالم باقی می‌مانند را مشخص کرد. این تست همچنین جهت تفکیک نکروز و آپوپتوز به کار می‌رود و در این تست سلولی زنده فرض می‌شود که دارای چرخه تنفسی میتوکندریایی و غشای میتوکندریایی سالم باشد (۹).

در تحقیق حاضر ابتدا توسط آزمایش MTT اثر سیتوتوكسیک ICD-85 تأثیر شد. در غلظت  $40 \text{ میکروگرم در میلی لیتر}$  از  $IC_{50} = 100 \text{ درصد مهار رشد و در غلظت } 40 \times 10^{-11}$  میکروگرم در میلی لیتر از ICD-85 درصد مهار رشد مانند سلول کنترل و صفر درصد مشاهده شد. IC<sub>50</sub> (غلظتی از دارو که جذبی برابر نصف کنترل تولید می‌کند یا به بیانی دیگر غلظتی از دارو که ۵۰ درصد مهار در رشد سلول (الا می‌کند) برابر با  $40 \text{ میکروگرم در میلی لیتر}$  محاسبه شد. وقتی تعداد سلول‌ها در هر چاهک کمتر از ۲۵۰۰۰ سلول بود، پس از ریختن ایزوپروپانول واکنش‌هایی که منجر به تشکیل رنگ بنفش می‌شد به طور کامل انجام نمی‌گرفت و تفاوت رنگ محسوسی بین چاهک‌ها دیده نمی‌شد و لذا، OD قرائت شده توسط دستگاه Elisa reader قابل قضاوت گذاشته شود. بنابراین ما از تعداد ۲۵۰۰۰ سلول در هر چاهک استفاده کردیم. نکته‌ای که در این تست رعایت شد این بود که پس از

آندوپلاسمی، کاهش کانال‌های سیتوپلاسمی در مقایسه با سلول کنترل افتاده است ولی غشا سالم است. بنابراین این نتایج به این مطلب اشاره می‌کند که ICD-85 قادر است تغییرات مرغولوژیکی مشخص آپوپوتیک را در سلول HL-60 القا کند.



الف



ب

شکل ۱- نمای میکروسکوپی سلول‌ها در زیر میکروسکوپ الکترونی.  
الف- سلول‌های کنترل که در معرض سم قرار نگرفته‌اند؛ ب- سلول‌هایی که در معرض سم قرار گرفته‌اند.

دوزهای زیاد باعث نکروز می‌شود. بنابراین علاوه بر غلظت سم، فاکتورهای مختلفی تعیین می‌کند که سلول به سمت نکروز رود یا آپوپتوز. برخی از این فاکتورها عبارتند از: توانایی سلول‌ها برای تحمل کردن و پذیرفتن پیچیدگی‌های موضعی غشا و موقعیت متابولیکی سلول‌ها تحت تاثیر پارامترهایی مثل

غلظت ATP (۱۹).

افزایش آگاهی ما در رابطه با پیچیدگی مرگ سلولی توسط شیمی درمانی می‌تواند چشم‌اندازی برای برنامه‌ریزی‌های آینده درمانی باشد که در آن ممکن است مواد سیتوتوکسیک را همراه با مواد بیولوژیک جهت حمله به مولکول خاص هدف به کار برد (۶).

شاید بتوان در آینده از ترکیب پیتیدی ICD-85 در درمان بیماران مبتلا به لوسومی استفاده کرد. داروی ضد سرطان ایده‌آل دارویی است که قادر باشد به طور اختصاصی سلول سرطانی را بکشد، ولی متسافنه اغلب داروهای ضد سرطان بر خلاف داروهای ضد میکروبی که اثرات سمی کمتری بر سلول‌های سالم دارند، سلول‌های در حال رشد بدن را نیز می‌کشند. ولی چون زمان دو برابر شدن سلول سالم کوتاه‌تر است و زودتر تقسیم می‌شود، قادر است جای سلول‌های سرطانی را پر کنند. درمان اساسی سرطان وقتی اتفاق می‌افتد که آخرین سلول سرطانی موجود قطعاً نابود شود. بنابراین درمان سرطان با یک دوره درمان میسر نمی‌شود و نیاز به دوره‌های متعدد شیمی درمانی دارد. امروزه تاکید پژوهشکان بر شیمی درمانی توان و استفاده از ترکیبات سیتوتوکسیک است تا حداکثر مرگ سلولی ایجاد گردد (۶).

## تشکر و قدردانی

بدین وسیله از همکاری صمیمانه جناب آقای دکتر محسن لطفی مدیریت کنترل کیفی موسسه تحقیقات واکسن و سرم‌سازی رازی و مساعدت ایشان در انجام مراحل تحقیق تشکر و قدردانی می‌شود.

## REFERENCES

1. Sant Ana CD, Ticli FK, Oliveira LL, Giglio JR, Rechia CGV, Fuly AL, et al. BjussuSP-I: a new thrombin-like enzyme isolated from Bothrops jararacussu snake venom. *Comp Biochem Physiol A Mol Integr Physiol*, 2008; 151: 443-54.
2. Strydom DJ. Snake venom toxins. Purification and properties of low-molecular-weight polypeptides of Dendroaspis polylepis polylepis (black mamba) venom. *Eur J Biochem* 1976; 69: 169-76.
3. Barry MA, Eastman A. Endonuclease activation during apoptosis: the role of cytosolic Ca<sup>2+</sup> and pH. *Biochem Biophys Res Commun* 1992; 186: 782-89.
4. Israels LG, Israels ED. Apoptosis. *Stem Cells* 1999; 17: 306-13.

افزودن ترکیب ICD-85 به سلول و گذشت ۲۴ ساعت به وسیله سانتریفیوژ دارو خارج شد و به سلولها به مدت ۴ ساعت اجازه تکثیر داده شد تا بین سلول‌های زنده همراه با قدرت تکثیر و سلولهای زنده بدون قدرت تکثیر تمایز قائل شویم.

نتایج اندازه‌گیری آنزیم لاکتات دهیدروژناز سلول‌ها، پس از اینکه ۲۴ ساعت در مجاورت غلظت‌های مختلف سم قرار گرفتند نشان داد که هیچ افزایش معنی‌داری در میزان LDH نسبت به سلول کنترل وجود ندارد. LDH در شرایطی آزاد می‌شود که غشای سلول پاره و تخریب شود و آزاد شدن LDH و آسیب غشای پلاسمایی از اختصاصات سلولهای نکروتیک است (۱۸، ۱۳).

سنجه میزان نشت LDH بر اساس آزاد شدن آنزیم به داخل محیط سلول پس از آسیب به غشای سلول می‌باشد، در حالی که سنجه MTT عمدتاً براساس تغییر آنزیمی در میتوکندری است. Karthikeyan و همکارانش اثر سیتوتوکسیک سم مار را به وسیله سنجه میزان LDH در سلول‌های Hep2 و Hela پس از اینکه در معرض ۴/۱۸ میکروگرم سم قرار گرفتند محاسبه کردند و متوجه شدند که در میزان LDH کاهش ۱/۵ درصدی وجود دارد. کاهش LDH آزاد شده نشان داد که سلول‌ها عملکرد طبیعی دارند، یعنی غشای پلاسمایی سالم است و مکانیسم عمل سم بر علیه سلول سرطانی به صورت نکروز نیست (۱۸). از این رو سطح LDH تغییر نیافته، می‌تواند به عنوان اندیکاتوری باشد که مرگ سلولی در رده سلولی HL-60 مربوط به شوک نکروتیک نیست.

اگرچه این با مطالعات قبلی که افزایش سطح LDH را وقتی سلول‌های MDA-MB231 در معرض ICD-85 قرار گرفتند، مشاهده شده بود، مغایرت داشت اما شاید علت تنوع در نتایج، تفاوت در رده‌های سلولی، تفاوت در مدت زمانی که سلول در مجاورت سم قرار می‌گیرد و غلظت‌های مختلف سم مورد استفاده باشد. از طرف دیگر ممکن است افزایش LDH پس از مدت طولانی تری در سلول آپوپتویک اتفاق بیفتد (۳). احتمالاً ترکیب ICD-85 در دوزهای کم باعث آپوپتوز و در

5. Cancer Control Office, Iranian Ministry of Health. Iranian Annual Cancer Registration Report. Ministry of Health publication; 2005. [In Persian]
6. Elahi M, editor. Chemotherapy in oncology. Tehran: Hamangan publications; 2005. [In Persian]
7. Sun L, Yoshii Y, Hyodo A, Tsurushima H, Saito A, Harakuni T, et al. Apoptosis induced by box jellyfish (*Chiropsalmus Quadrigatus*) toxin in glioma and vascular endothelial cell lines. *Toxicon*. 2002; 40: 441-46.
8. Bosmans F, Martin-Eauclaire MF, Tytgat J. The depressant scorpion neurotoxin LqqIT2 selectively modulates the insect voltage-gated sodium channel. *Toxicon*. 2005; 45: 501-507.
9. Zare Mirakabadi A, Mahdavi S, Koohi MK, Taghavian M. Cytotoxic Effect of ICD-85 (Venom-Derived Peptides) on MDAMB-231 Cell line. *J Venom Anim Toxins Incl Trop Dis* 2008; 14: 619-27.
10. Koohi M, Zare Mirakabadi A, Moharrami M, Hablolvarid MH. Anti-cancer effect of ICD-85 (Venom-derived peptides) on MDAMB231 cell line (*in vitro*) and experimental mice with breast cancer (*in vivo*). *Int J Vet Res* 2009; 3: 49-54.
11. Freshney RI, editor. Culture of animal cells: a manual of basic technique. 5th ed. New York: Wiley – Liss; 2005
12. Plumb JA, Milroy R, Kaye SB. Effect of the pH dependence of 3-(4,5-Dimethylthiazol-2-yl)-2,5-diphenyl-tetrazolium bromide-formazan absorption on chemosensitivity determined by a novel tetrazolium-based assay. *Cancer Res* 1989; 49: 4435-40.
13. Deker T, Lohmann-Matthes ML. A quick and simple method for the quantitation of lactate dehydrogenase release in measurements of cellular cytotoxicity and tumor necrosis factor (TNF) activity. *J Immunol Methods* 1988; 15: 61-69.
14. Koh DC, Armugam A, Jeyaseelan K. Snake venom components and their applications in biomedicine. *Cell Mol Life Sci*. 2006; 63: 3030-41.
15. Bosmans F, Tytgat J. Voltage-gated sodium channel modulation by scorpion alpha-toxins. *Toxicon* 2007; 49: 142-58.
16. Abondanza TS, Olivera CR, Barbosa CM, Pereira FE, Cunha RL, Caires AC, et al. BCL-2 expression and apoptosis induction in human HL-60 leukaemic cells treated with a novel organotellurium compound RT-04. *Food Chem Toxicol* 2008; 46: 2540-45.
17. Wan H, Williams RL, Doherty PJ, Williams DF. A study of the reproducibility of the MTT test. *J Mat Sci* 1994; 154-59.
18. Karthikeyan R, Karthigayan S, Sri Balasubashini M, Vijayalakshmi S, Somasundaram ST, Balasubramanian T. Inhibition of cancer cell proliferation *in vitro* and tumor growth *in vivo* by *Hydrophis spiralis* Sea Snake venom. *Int J Cancer Res* 2007; 4: 186-90.
19. Leist M, Single B, Castoldi AF, Kuhnle S, Nicotera P. Intracellular adenosine triphosphate (ATP) concentration: a switch in the decision between apoptosis and necrosis. *J Exp Med*. 1997; 185: 1481-86.